

HT-208-2

HTTR 設工認 第4回申請(R2.3.30)のコメントに係る回答  
(耐震性(波及的影響含む))

令和2年8月20日

日本原子力研究開発機構 大洗研究所

高温ガス炉研究開発センター

高温工学試験研究炉部

第 4 回申請(R2.3.30)に対する確認事項(No.19 R2/6/18):第 4 回第 1 編(耐震性)

第 4 回申請(R2.3.30)に対する確認事項(No.25,26 R2/7/9):第 4 回第 1 編(耐震性)

制御棒の挿入性については、計算上の応力が許容値以下であることを確認しているが、応力の比較のみで制御棒の挿入性が確保できることを、制御棒の挿入機構から説明して下さい。

また、「基準地震動及び耐震設計方針に係る審査ガイド」にある確認項目のうち、検討されていない項目があればお教え下さい。(制御棒の挿入性のよう、①考え方と②計算値と評価値が確認できるようにまとめて下さい。)

設置許可の審査において、基準地震動による地震力に対しては、設計基準事故で想定する事象とは別に取り扱い、非常用発電機その他耐震重要度Bクラス以下の安全施設の機能喪失を想定したとしても、炉心に制御棒が挿入され原子炉停止に至り、周辺監視区域境界における実効線量が 5mSv 未満であることを確認している。

本評価の前提条件を担保する観点から、基準地震動時における制御棒の動的挿入性を説明すること。

制御棒が基準地震動による地震力に対して構造健全性を有していること、連結棒の変形、損傷等により制御棒が屈曲し、複数の制御棒要素が挿入経路を閉塞することがないことを説明すること。

## 【回答】

### 1. 地震時の制御棒の挿入性の考え方

設計基準事故と地震の重ね合わせとして、設計基準事故と重ね合わせる地震は B クラス地震( $1/2S_d$ )であり、S クラス地震( $S_s$ )とは重ね合わさない。このため、 $1/2S_d$  に対して、地震が発生している最中でも、制御棒の挿入性に係る設計上の制限値(有効炉心の 80%挿入時間 12 秒)を満足できることを制御棒挿入性試験により確認している。 $S_s$  に対して、炉内構造物の変位が発生することを想定しても、地震終了後に制御棒が挿入できることを静的挿入性試験により確認している。以下に、両者に関する試験の結果を示す。

### 2. $1/2S_d$ 時の制御棒の挿入性試験

制御棒挿入性試験は、HTTR の炉心のうち制御棒案内ブロック 1 カラムの高温プレナムブロックの上部を模擬して、加振台から吊下げた下部試験容器内に制御棒案内ブロック 1 カラム分を積み上げ、隣接するカラムは側部に設けた衝突板により模擬して実施した。入力波としては、水平方向の正弦波及び S1、S2 地震時及び 1.6S2 地震時(S2 地震時の加速度を 1.6 倍に増幅したもの)の高温プレナムブロック部における応答波を用いた。また、水平方向の 0.5 倍の加速度を有する垂直波の影響も調べた。

#### 2.1 試験結果

制御棒挿入性試験は、実施した全てのケースにおけるスクラム時の挿入時間は、設計上の制限値を満足した<sup>1)</sup>。試験により得られたスクラム時間を図 1 に示す。

#### 2.2 試験結果と $1/2S_d$ の加速度との関係

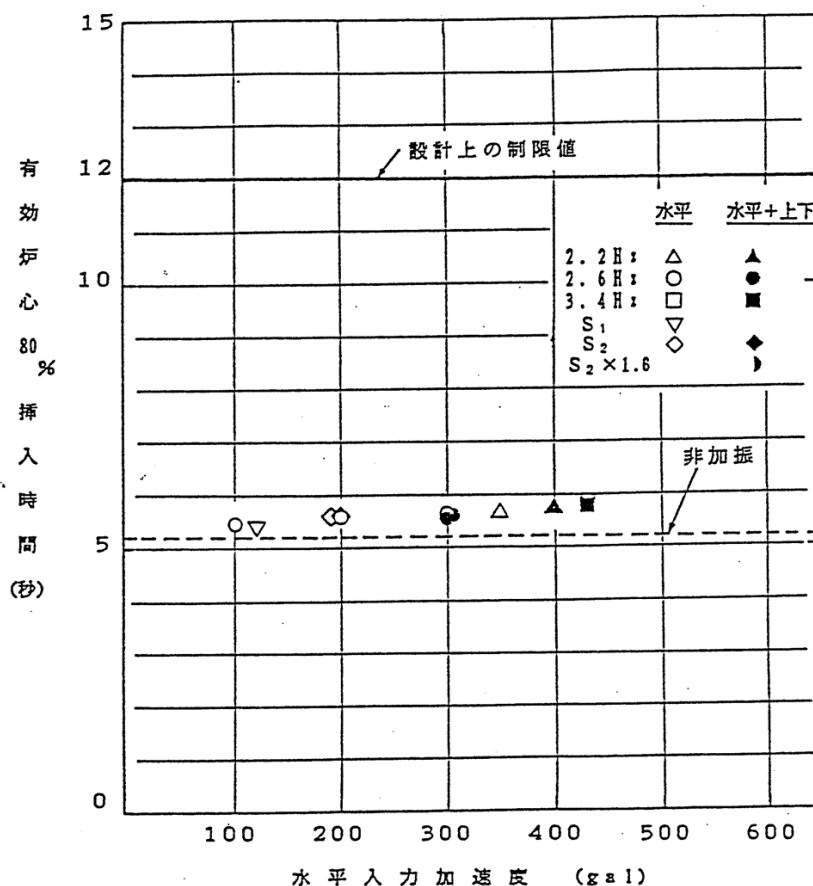
制御棒挿入性試験では、最大水平加速度約 400gal で試験を実施している。1/2Sd の高温プレナムブロック部における応答波の最大水平加速度は約 200gal である。そのため、1/2Sd 時でも設計上の制限値を満足する。

### 2.3 制御棒挿入孔と制御棒の接触による摩擦力(挿入抗力)に対する考え方

制御棒の挿入を遅延させる要因としては挿入中の制御棒と制御棒案内管との接触によって発生する摩擦力がある。黒鉛と金属材料の摩擦係数は金属同士の摩擦係数と比較して小さく、また図 2 に示すようにワイヤロープに吊られ、かつ制御棒挿入孔のギャップが約 10mm ある制御棒は、水平方向に拘束されていないため、接触箇所に対する垂直抗力は小さい。これらの理由により、発電炉と比較して、Ss までの範囲において摩擦力は小さく、制御棒挿入孔と制御棒の接触による挿入の阻害はない。

なお、これまでに実施した制御棒挿入性試験等から、スクラム時の制御棒挿入に要する時間は、制御棒案内ブロックの加速度に比例することが示されている。そこで、図 1 の結果を外挿して、約 Ss 時の加速度(約 670gal)のもとでの制御棒挿入時間は、約 6.2 秒と推定される。

実験により検証され、HTTR の炉内構造物の耐震解析に用いている SONATINA-2V による評価では、制御棒案内ブロックの加速度の平均は 1/2Sd から Ss までの範囲において、線形的な比例関係にあり、直線的な外挿による挿入時間の推定は十分可能である。



注) 地震波の水平入力加速度は入力加速度の最大値

図 1 有効炉心 80%挿入時間<sup>1)</sup>

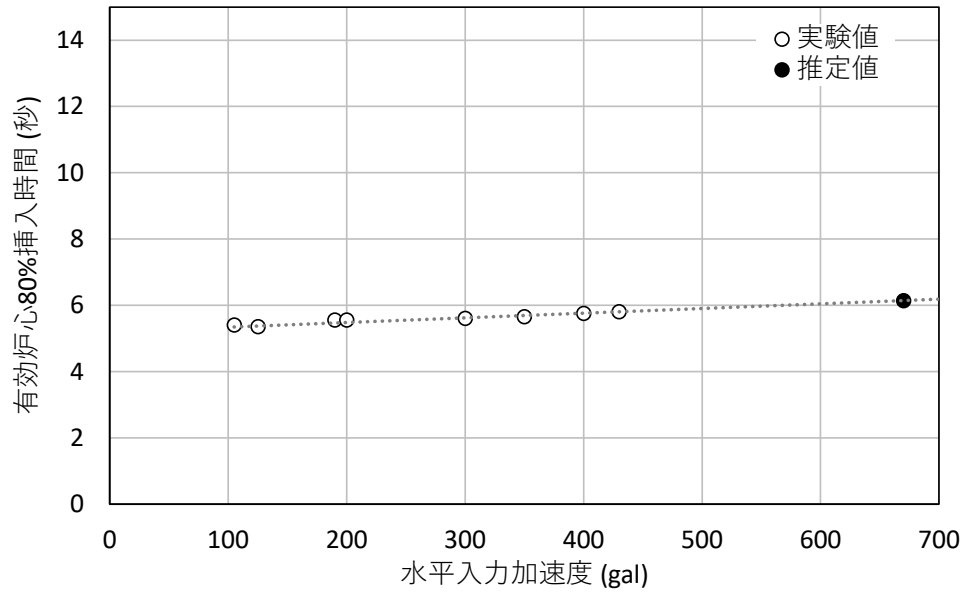


図2 地震時の制御棒挿入時間

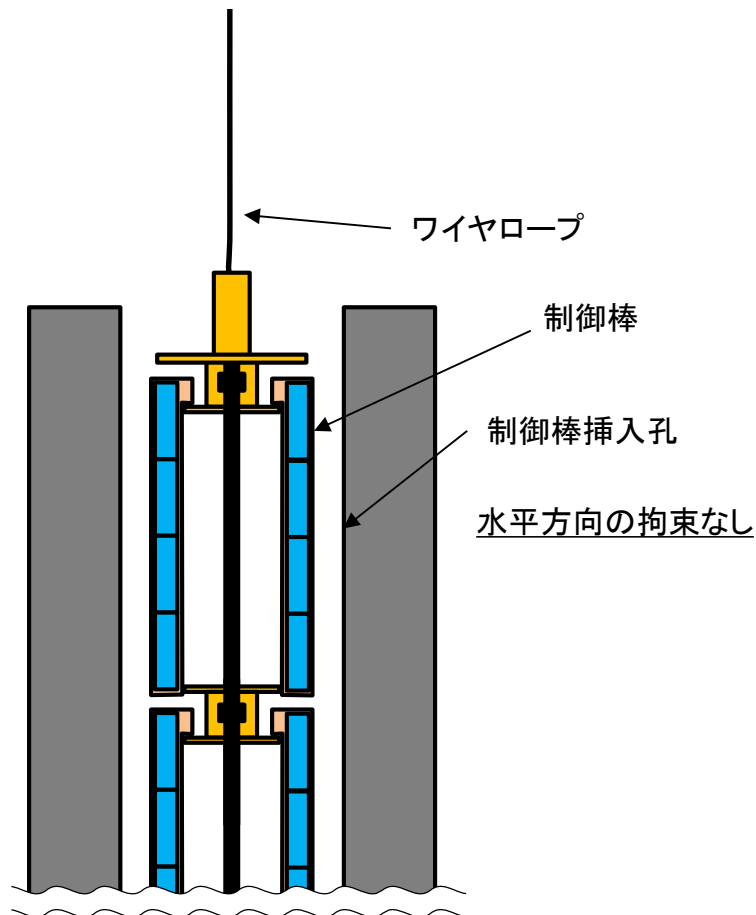


図 2 制御棒挿入孔における制御棒の状態

### 3. Ss の終了後の制御棒の静的挿入性について

Ss の終了後の制御棒の静的挿入性に関して、S クラス施設は健全性を維持し B クラス施設は破損することとし、制御棒と制御棒案内ブロックが最も相互作用する幾何学的配置となるように想定した。想定した最大変位量は約 26 mm(固定反射体ブロックが最大変位した値に各カラム間ギャップの積算値を加えた変位量)であり、このときの傾斜角は約 0.046(rad)である。また、静的挿入性試験では、最大挿入傾斜角 0.0877(rad)において、制御棒が挿入されたことを確認している。したがって、Ss の終了後に B クラス施設が破損したときの最大傾斜角を想定しても、制御棒は挿入される。

ここで水平方向の変位量が最大約 26 mmとしている根拠は次のとおりである。燃料体、制御棒案内ブロック及び可動反射体ブロックの各ブロックの周辺(●で示す)には約 2mm のギャップがある。また固定反射体ブロックの外側(▲で示す)には、レストレイントリングとの間に約 3mm のギャップがある。炉心部には水平方向に 2mm のギャップが 10 か所と 3mm のギャップが 2 か所あることになるため、これらのギャップを一か所に集中させた場合、最大で約 26mm の空隙が生じることとなる。

なお、制御棒の静的挿入性試験については、別紙 1(HT-193-3 まとめ資料(第 4 条:地震)より抜粋)に補足する。

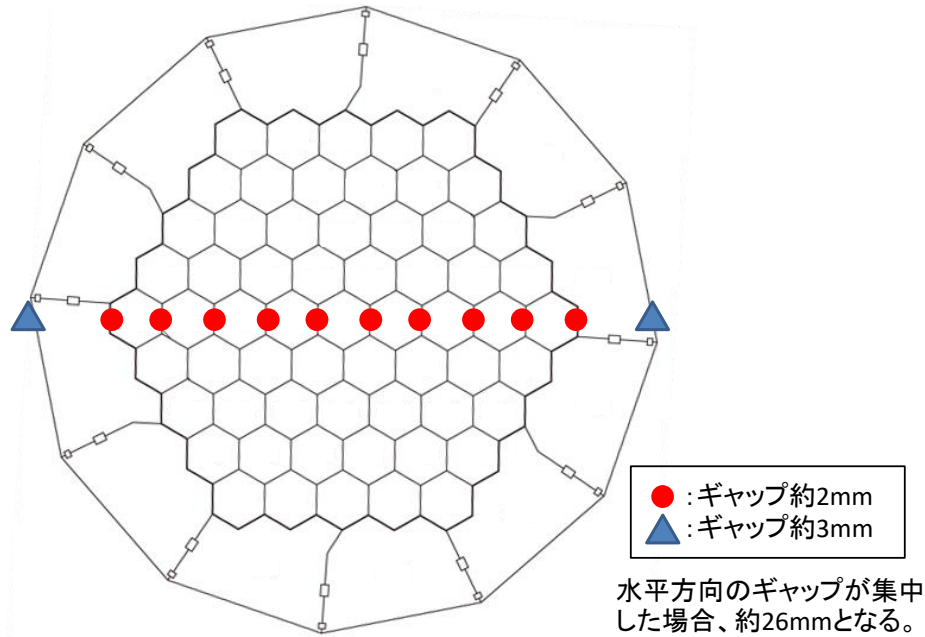


図3 原子炉水平方向ギャップ説明図

#### 4. 制御棒挿入孔の閉塞に対する考え方

重力落下する制御棒と黒鉛製の制御棒案内ブロックの摩擦による挿入の阻害は、2.3に記したとおり無視できるため、制御棒の挿入を阻害する要因は、①制御棒挿入孔内に黒鉛ブロックの破片等が噛みこむ(閉塞)、②制御棒の可撓性を超える屈曲が制御棒案内ブロックに発生する(屈曲性)、③制御棒案内ブロックの水平方向のズレにより挿入孔が狭まる(不連続性)、3つである(図3)。

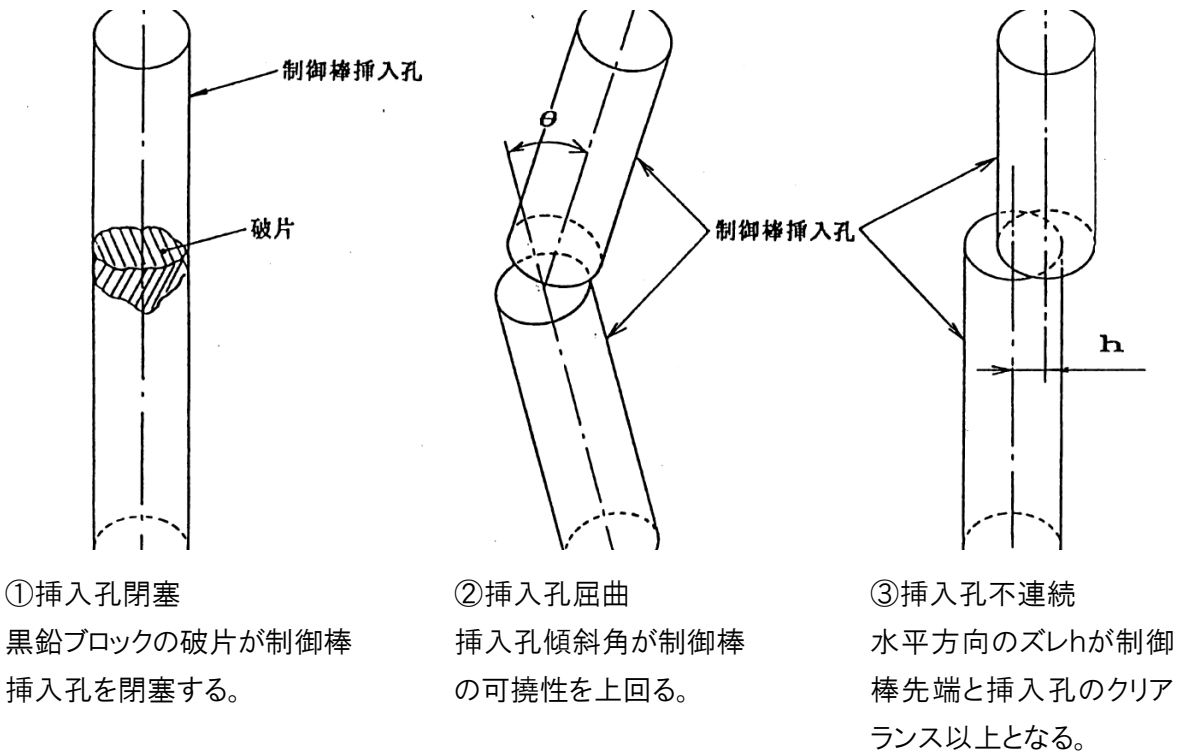


図4 制御棒の挿入性が確保できなくなる可能性のある挿入孔の状態

①については、黒鉛ブロックの挿入孔は基準地震動による地震力によって破損しないとの評価を得ていること、また②については拘束バンド等が破損した場合に生じる最大の屈曲性を考慮しても制御棒の可撓性により挿入できるとの評価を、これまでに説明してきている。

③については共振周波数に対しては炉心全体の変位は大きくなるが、ブロック全体が群として振動するため、制御棒案内ブロックは隣り合う単一の黒鉛ブロックと接するため大きな上下で大きな変位は生じない。挿入性は確保され、閉塞することなく落下する。また共振周波数以外に対しては、図5に示すように、各カラムの周辺にある約 2mm のギャップから最大 4mm のズレが生じうるが、制御棒先端にあるショックアブソーバーのもつテーパ構造により、挿入性は確保され、閉塞することなく落下する。

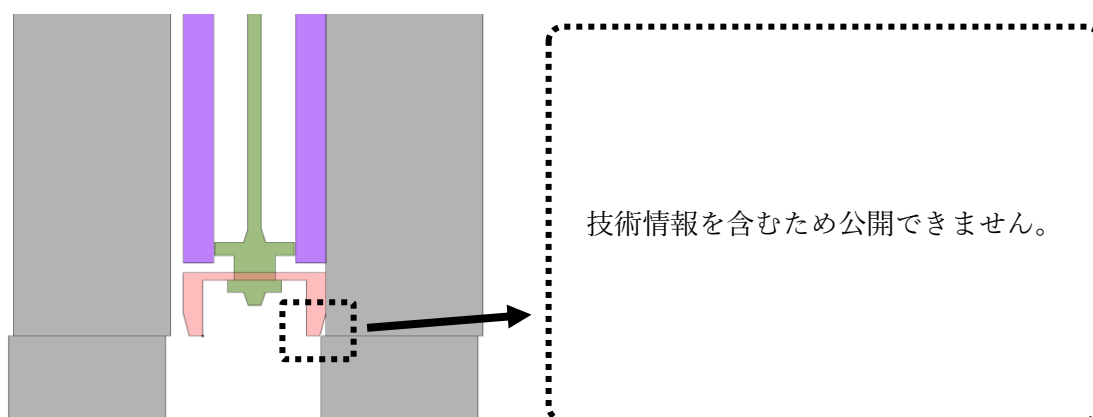


図4 ブロックの不連続性

以上により、地震によって制御棒は制御棒案内ブロック内で振動するものの、制御棒の可撓性およびテーパ構造等により、挿入性は確保され、閉塞することなく落下する。

- 1) 「IV-ニ-12 制御棒の耐震計算書」(設計及び工事の方法の認可(第4回申請)平成4年9月30日付け4安(原規)第312号)

## 制御棒挿入孔の連続性について

制御棒は、炉心構成要素の一部の制御棒案内ブロックの制御棒挿入孔に挿入される(図 1)。HTTR の炉心は、六角柱状の黒鉛ブロック群で構成された積層構造をしている。これら炉心構成要素は、高温プレナムブロックを介して、サポートポストにより支持されている。地震時、サポートポストの支持機能が維持されていれば、制御棒案内ブロック等の炉心構成要素は、高さ方向において元の位置に留まり、制御棒挿入孔が高さ方向で不連続となることはない。そのため、制御棒挿入性上評価すべき問題は、炉心構成要素の水平方向の動きである。

構造上、炉心全ての炉心構成要素の黒鉛ブロックは六角柱状であるとともに、最下段の制御棒案内ブロックは隣接する燃料体ブロックより 10 cm 低くしている。このため、炉心内の黒鉛ブロックは、炉心横断面の方向及び炉心縦断面の方向に拡散するように動く。図 2 に示すように、縦断面においては、①のブロックが変位した場合、隣接するブロックが 10 cm の段差をつけているため上下に広がって動き、また、横断面においては、①のブロックが変位した場合、黒鉛ブロックが六角柱状であるため、左右に動きが広がって動く。

地震時において、最も制御棒の挿入が阻害される事象は、制御棒案内ブロックの水平変位量が最大となった時に、制御棒の挿入孔が屈曲することで、挿入される制御棒要素に抵抗力が働くときである。炉心の振動特性は、横からの地震の入力により炉心全体が振動し、周波数が 2~5Hz の帯域で、制御棒案内ブロック(カラム)や燃料体ブロック(カラム)が一体となって振動する。この時が、制御棒案内ブロックの水平変位量が最大となる。ここで、炉心形状から静的に制御棒案内ブロックの水平変位量が最大になったとしても、制御棒が挿入されることを静的試験により確認している。(別添資料参照)

また、制御棒案内ブロックに作用する地震荷重に対して、制御棒挿入孔が制御棒を挿入できる形状を維持していることのみを確認する。

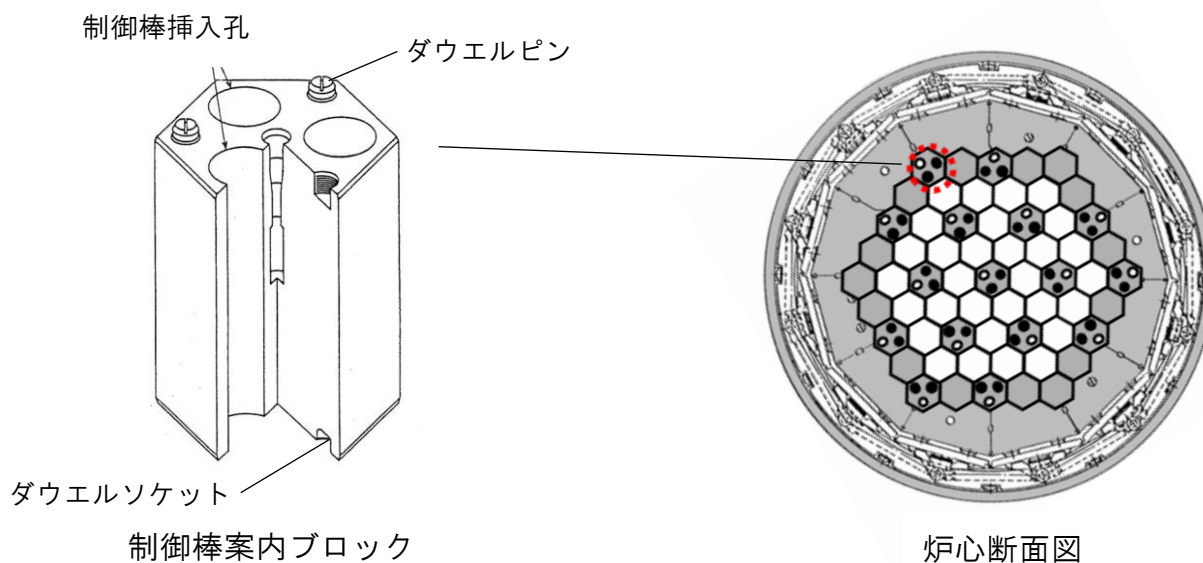


図 1 制御棒案内ブロック及び炉心断面図



あるブロックが水平に動くと、高さ方向及び横方向に広がり、制御棒案内ブロックはその上下左右のブロックと一体となって運動する。制御棒挿入孔は、梁のように連続体として水平方向に運動する。

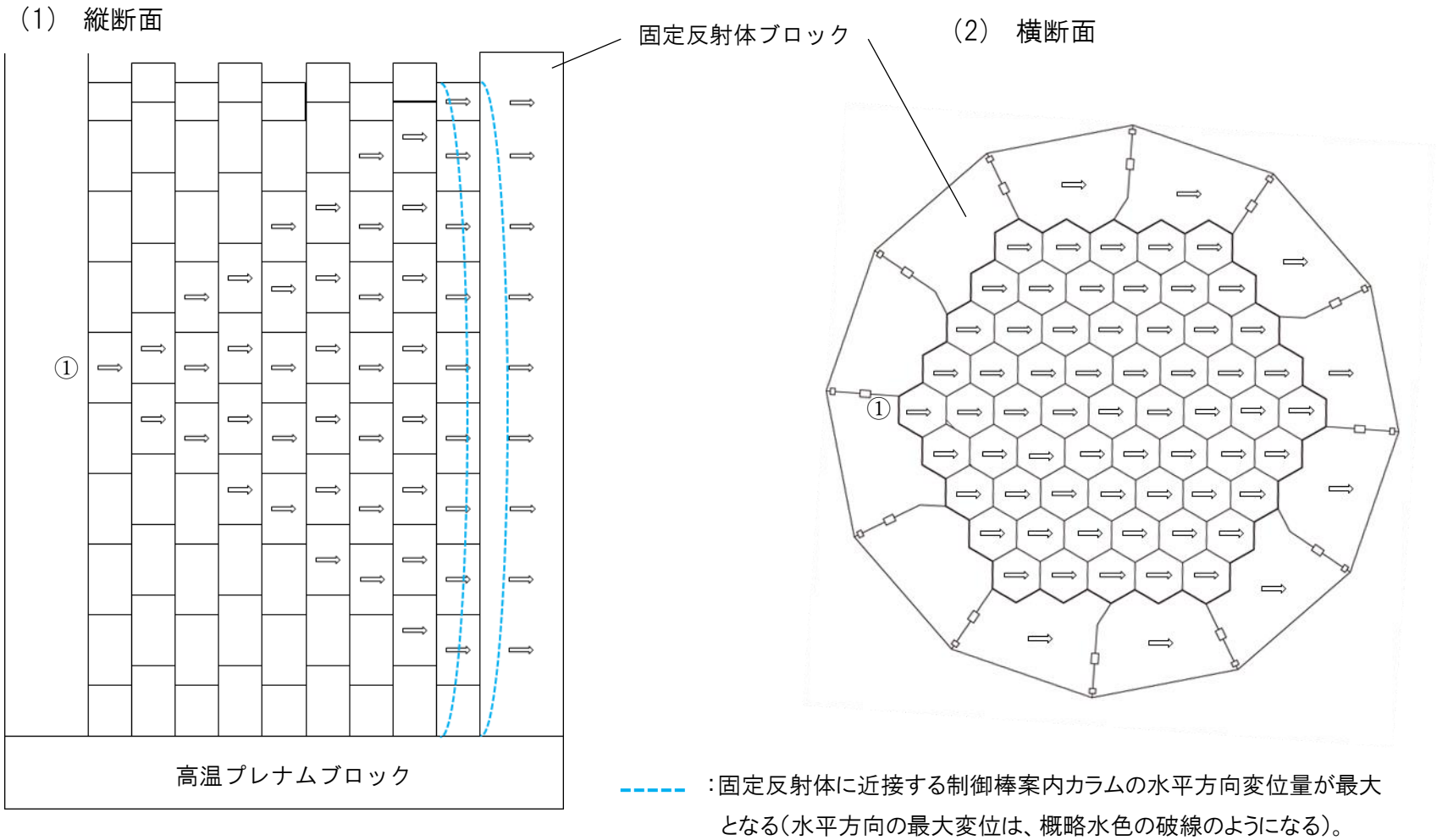


図2 水平方向のブロックの動き

## 水平方向変位時の制御棒挿入性

制御棒を挿入する際、制御棒挿入孔が弓なりに変形し、その屈曲点が最も厳しくなる。即ち図1の屈曲角 $\theta$ が大きくなる程、制御棒は挿入しづらくなる。

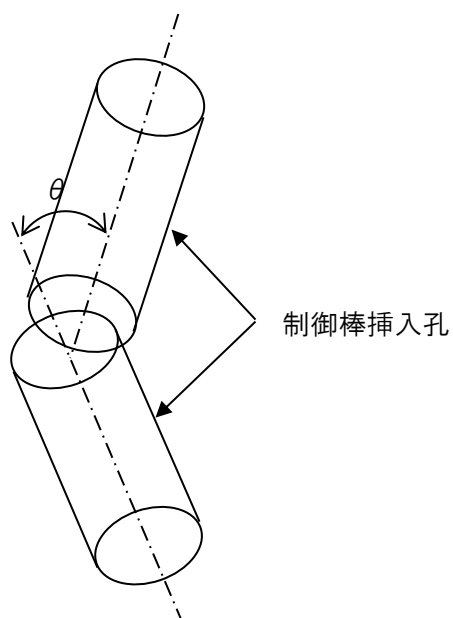


図1 制御棒挿入孔の状態図

屈曲角が物理的に最大となる条件は、拘束バンドが破損し、固定反射体ブロックが最大変位した値に各コラム間ギャップの積算値を加えた時(約 26 mm)である。(図 2)

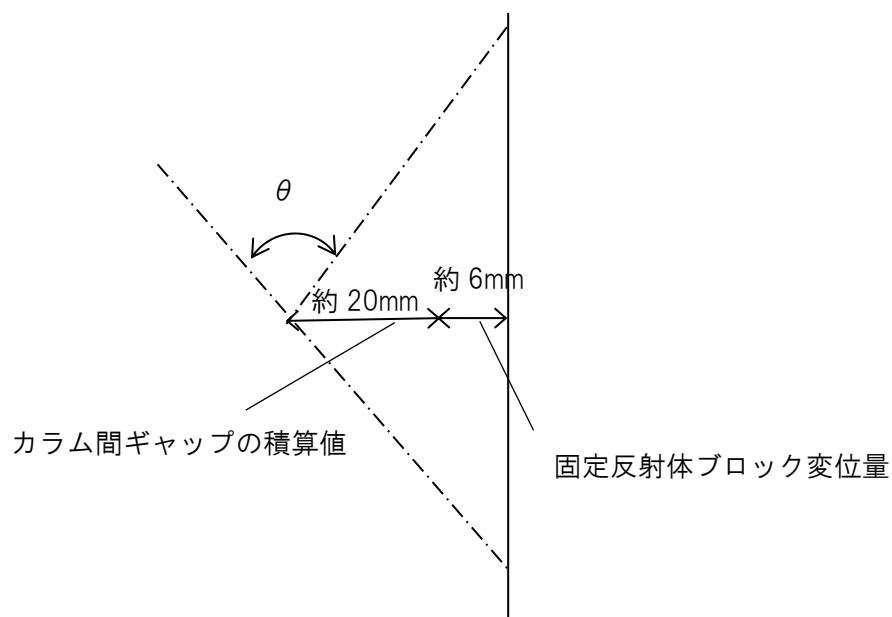


図2 想定される制御棒案内ブロック

$$\theta \cong 4(D_0 - D)/h \text{ (rad)}$$

- ここで、 $D_0$  : 挿入孔径(=123mm)  
 $D$  : 制御棒の最外径(=113mm)  
 $h$  : 制御棒要素長(=304mm)  
 $\theta$  : 限界挿入孔傾斜角(=0.131rad)

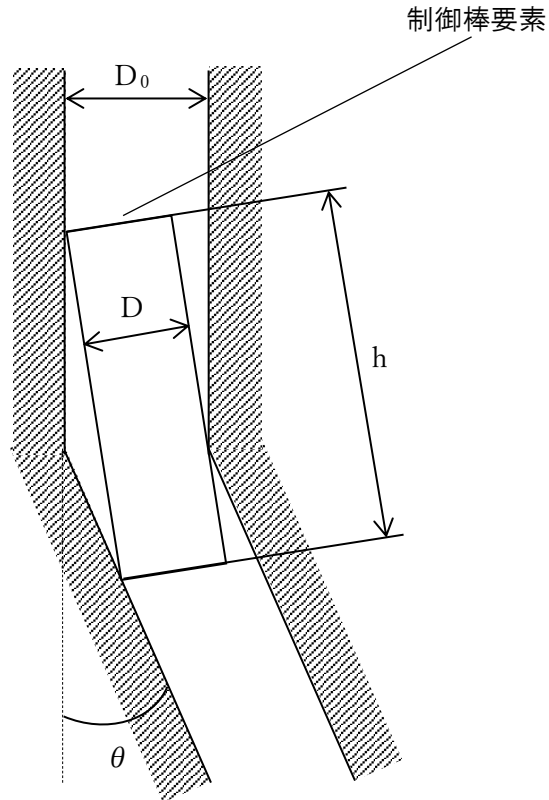


図 3 制御棒要素の限界挿入孔傾斜角

図 3 に幾何学的に制御棒が挿入される限界挿入角(=0.131rad)を示す。また、静的挿入性試験では、最大挿入傾斜角 0.0877(rad)において、制御棒が挿入されたことを確認している。

一方、拘束バンドが破損し、固定反射体ブロックが最大変位した値に各カラム間ギャップの積算値を加えた変位量が約 26 mmの時の傾斜角は約 0.046(rad)である。また、制御棒は 1 本の連結棒に制御棒要素が連結されており、挿入を妨げないよう可撓性を持たせた構造となっている。(図 4、5 参照)

以上のことから、傾斜角約 0.046(rad)は静的試験結果の最大挿入角 0.0877(rad)を下回るため制御棒の挿入性は確保される。

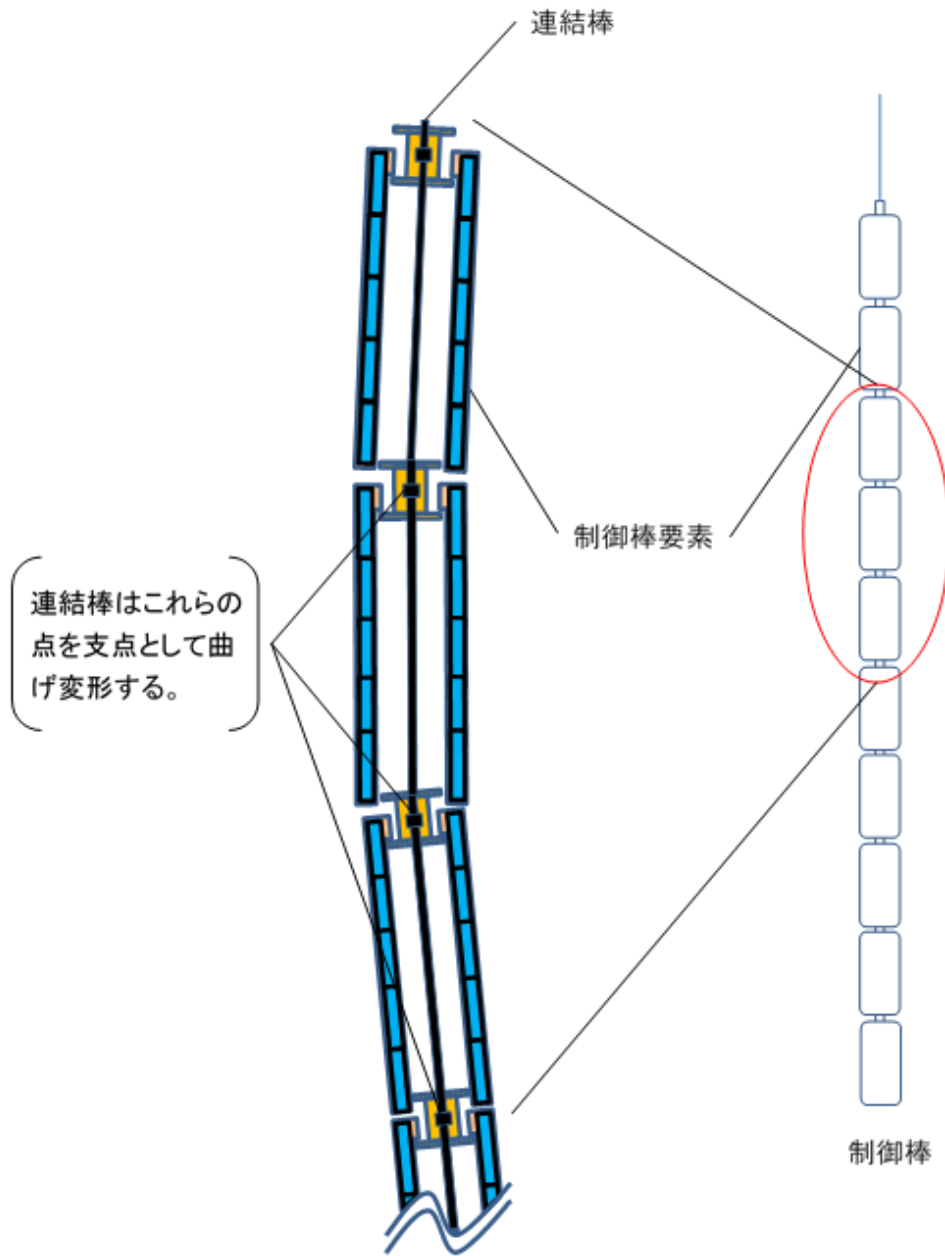


図 4 制御棒変形状況概念図

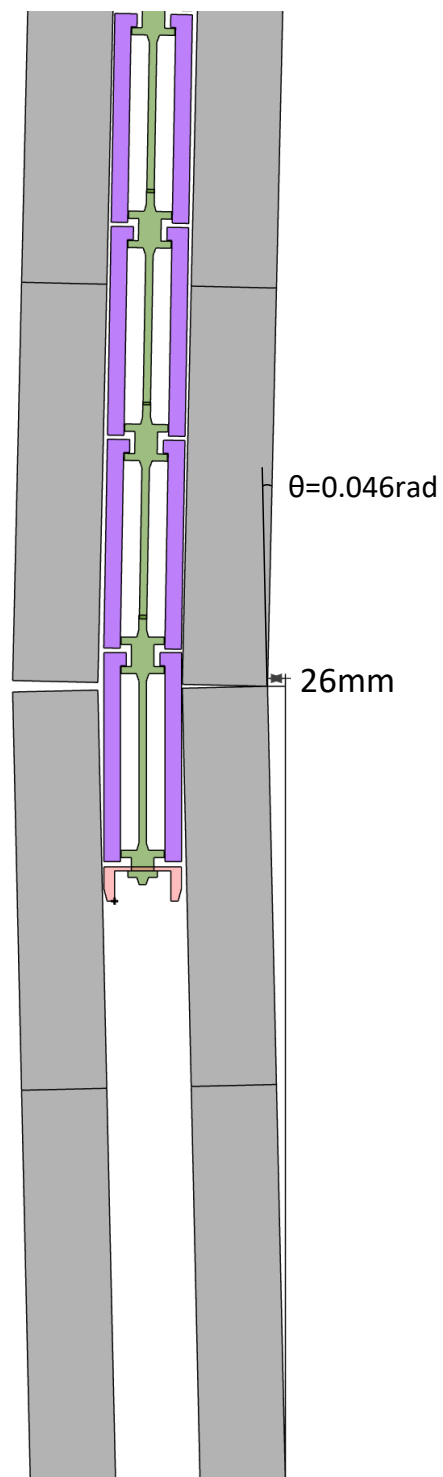


図 5 屈曲率が最大となった時の制御棒挿入孔と制御棒の位置関係